

# Protokoll Gammadosisleistung

Fuchs, Gutmann, Kosbab, Kowal, Steindorf, Fälder, Richter

9. Januar 2023

## Inhaltsverzeichnis

1	Kurzbeschreibung des Versuches	1
2	Funktionsweise eines Szintillators	1
3	Nullwertmessungen	2
4	Messwerte	3
5	Graphische Darstellung	4
6	Bestimmung der Halbwertszeiten	5
7	Berechnen der Neutronenflussdichte am Bestrahlungsort	6

## 1 Kurzbeschreibung des Versuches

- Zu Beginn des Versuchs wird ohne Probe fünf mal der Nulleffekt gemessen und aus den erhaltenen Werten der Durchschnittswert gebildet.
- Ein Aluminium-Präparat, ein Kupfer-Präparat sowie ein unbekanntes Präparat werden für jeweils 10 Minuten im geöffneten Experimentierkanal bestrahlt.
- Nach erfolgter Neutronen-Aktivierung werden die Proben aus dem Reaktorkanal entnommen und in den Szintillator montiert.
- Anschließend wird über eine Zeitdauer von 10 Minuten alle 30 Sekunden die Zahl der Impulse für je sechs Sekunden gemessen.

## 2 Funktionsweise eines Szintillators

1. Im Szintillationskristall des Szintillators werden beim Auftreffen von Strahlung Lichtblitze (Szintillationen) erzeugt.
2. Die Lichtblitze werden in einem Sekundärelektronenverstärker durch den fotoelektrischen Effekt in Fotoelektronen umgewandelt und durch Stoßionisation verstärkt.

- Die entstehenden Spannungsimpulse werden in einem nachfolgenden Verstärker weiter verstärkt und anschließend im Impulszähler gezählt.

Folgende Werte wurden am Strahlungsmessgerät eingestellt:

Parameter	Wert
Pegel	5.7 V
Hochspannung	−1140 V
Verstärkung	22 dB
Messzeit	6 s
Kanalbreite	DIS

### 3 Nullwertmessungen

Messung	Messwert ohne Menschen [# Impulse]	Messwert mit Menschen [# Impulse]
1	522	408
2	522	488
3	545	415
4	526	396
5	575	492
Ø	$N_0 = 538$	439,8

Tabelle 1: Untergrundstrahlung bei laufendem Reaktor mit und ohne Menschen als Abschirmmaterial

## 4 Messwerte

Zeit [min]	Al: [# Impulse]		Cu: [# Impulse]		X: [# Impulse]		
	$N_i$	$N_i - N_0$	$N_i$	$N_i - N_0$	$N_i$	$N_i$	$N_i - N_0$
0	-	-	-	-	-	-	-
0,5	24505	23967	24063	23525	11971		11433
1,0	21163	20625	22350	21812	11134		10596
1,5	18339	17801	20668	20130	10651		10113
2,0	15840	15302	19868	19330	10252		10113
2,5	13718	13180	18376	17838	9285		8747
3,0	11656	11118	17582	17044	8809		8271
3,5	10279	9741	16477	15939	8314		7776
4,0	8744	8206	15461	14923	8117		7579
4,5	7612	7074	14629	14097	7423		6885
5,0	6536	5998	13838	13300	7081		6543
5,5	5961	5423	12893	12355	6791		6253
6,0	5102	4564	12004	11466	6380		5842
6,5	4426	3888	11673	11135	6026		5488
7,0	3948	3410	11196	10658	5638		5100
7,5	3381	2843	10355	9817	5410		4872
8,0	3060	2522	10077	9539	5180		4642
8,5	2691	2153	9477	8939	4852		4314
9,0	2300	1762	9009	8471	4645		4107
10,0	1930	1392	8152	7614	4096		3558

Tabelle 2: Anzahl der Impulse für verschiedene Materialien zu verschiedenen Zeitpunkten

## 5 Graphische Darstellung

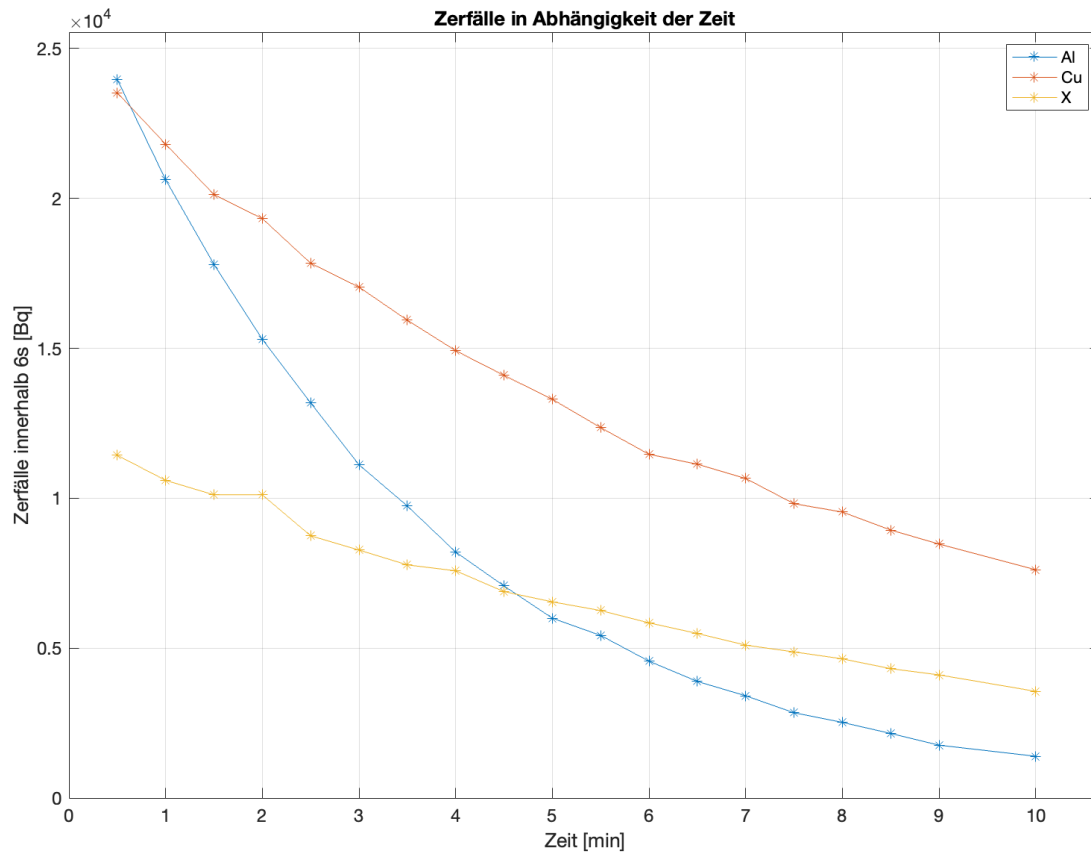


Abbildung 1: Messwerte mit linearer Achse

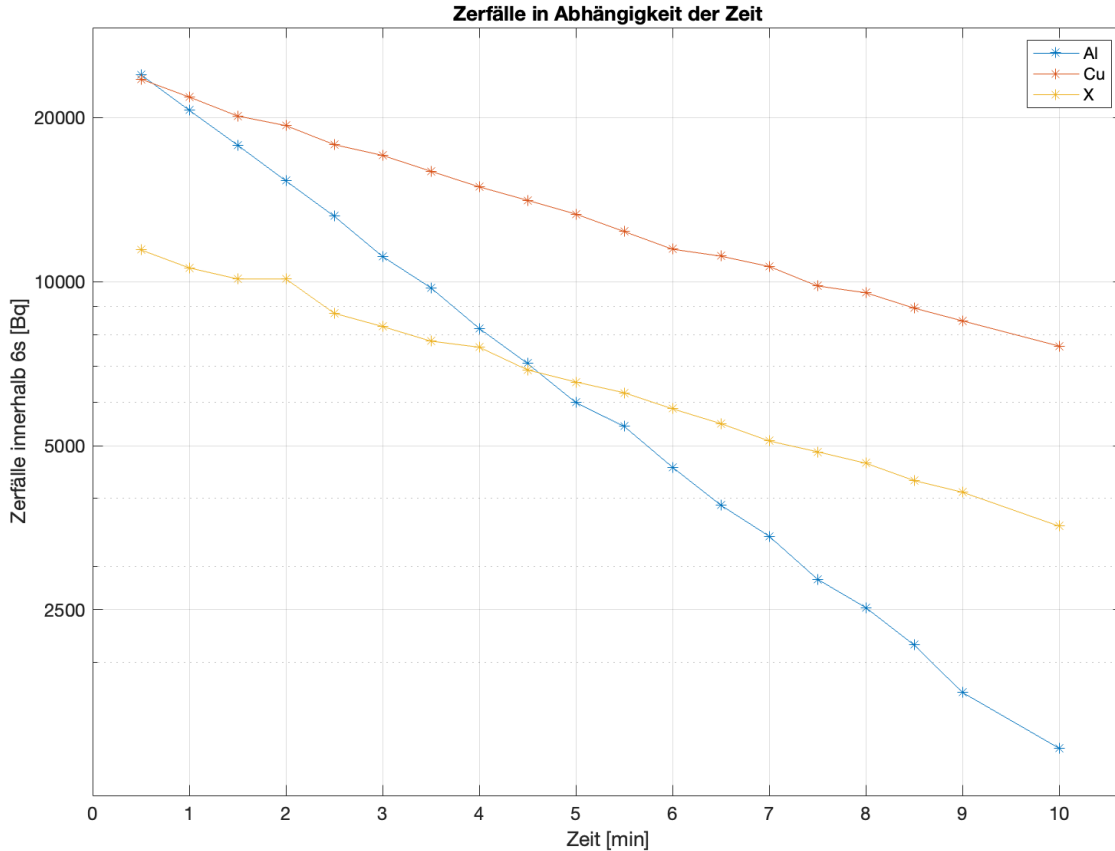


Abbildung 2: Messwerte mit logarithmischer Achse

## 6 Bestimmung der Halbwertszeiten

Anhand der Abklingkurven kann man nun die Halbwertszeiten ablesen.

Da der Verlauf der Aktivitätswerte durch den radioaktiven Zerfall einer Exponentialfunktion folgt, kann diese mittels exponentieller Regression näherungsweise bestimmt und anschließend die Halbwertszeit errechnet werden. Die aus den gemessenen Aktivitätswerten resultierenden Exponentialfunktionen sind folgende:

$$y_{\text{Al}} = e^{10.2344 - 0.3021 \cdot x}$$

$$y_{\text{Cu}} = e^{10.0940 - 0.1182 \cdot x}$$

$$y_{\text{X}} = e^{9.3969 - 0.1210 \cdot x}$$

Nach der Bestimmung der Umkehrfunktionen lassen sich die Halbwertszeiten wie folgt berechnen:

$$T_{1/2} = y^{-1} \left( \frac{y(100)}{2} \right) - 100$$

Die damit berechneten Halbwertszeiten lauten:

$$T_{1/2; \text{Al}} : 2.29 \text{ min}$$

$$T_{1/2; \text{Cu}} : 5.86 \text{ min}$$

$$T_{1/2; \text{X}} : 5.72 \text{ min}$$

Es handelt sich bei dem unbekannten Element also vermutlich um Messing.

## 7 Berechnen der Neutronenflussdichte am Bestrahlungs-ort

Laut Versuchsanleitung ergibt sich zur Berechnung der Neutronenflussdichte folgende Gleichung:

$$\Phi = \frac{(Z(t_b) - n_0) \cdot AG}{C \cdot V \cdot \rho \cdot P \cdot N_L \cdot \sigma \cdot [1 - \exp(-\ln(2)/T_{1/2} \cdot t_b)]}$$

$Z(t_b)$  : (extrapolierte Zählrate für  $t = 0 = t_b$ )

$n_0$  : Nulleffekt

$AG$  : Atomgewicht des Probenmaterials

$P$  : Anteil des betrachteten Isotops am Gemisch

...

Dabei ist  $P$  der Anteil des betrachteten Isotops am Gemisch, für Kupfer ist  $P = 0.309$ .

Mit Kupfer wurde der Proportionalitätsfaktor bestimmt und beträgt  $C = 0,01$ , anhand von Volumen und Dichte lässt sich die Masse der Aluminium- und Kupfer-Proben berechnen und aus der gerade berechneten Halbwertszeit lässt sich die Zerfallskonstante berechnen.

Für Aluminium ergibt sich also für die Neutronenflussdichte:

$$\begin{aligned} \Phi &= \frac{(4640.79 \frac{1}{s} - 89.66 \frac{1}{s}) \cdot 27 \frac{g}{mol}}{0.01 \cdot 0.71 \text{ cm}^3 \cdot 2.2 \frac{g}{\text{cm}^3} \cdot 6.025 \cdot 10^{23} \frac{1}{mol} \cdot 0.215 \cdot 10^{-24} \text{ cm}^2 \cdot \left[1 - \exp\left(-\frac{\ln(2)}{2.29 \text{ min}} \cdot 10 \text{ min}\right)\right]} \\ &= 5.7 \cdot 10^7 \frac{n}{\text{cm}^2 \cdot s} \end{aligned}$$

Analog lässt sich die Neutronenflussdichte für Kupfer berechnen:

$$\begin{aligned} \Phi &= \frac{(4032.9 \frac{1}{s} - 89.66 \frac{1}{s}) \cdot 65 \frac{g}{mol}}{0.01 \cdot 0.71 \text{ cm}^3 \cdot 8.92 \frac{g}{\text{cm}^3} \cdot 6.025 \cdot 10^{23} \frac{1}{mol} \cdot 2.1 \cdot 10^{-24} \text{ cm}^2 \cdot \left[1 - \exp\left(-\frac{\ln(2)}{5.86 \text{ min}} \cdot 10 \text{ min}\right)\right]} \\ &= 1.3 \cdot 10^7 \frac{n}{\text{cm}^2 \cdot s} \end{aligned}$$

Es ergibt sich also ein Durchschnittswert von  $3.5 \cdot 10^7 \frac{n}{\text{cm}^2 \cdot s}$